

En kvinne med nevrofibromatose, infeksjonstegn og blødninger

En kvinne med kjent nevrofibromatose ble innlagt for utredning av vedvarende infeksjonstegn. Under oppfølgingen utviklet hun multiple aneurismes, med påfølgende alvorlige og gjentatte blødninger fra flere arterielle kar. Det skulle vise seg at det å finne årsaken til symptomene krevde en omfattende og langvarig utredning.

En kvinne i begynnelsen av 60-årene med kjent nevrofibromatose type 1 ble henvist til lokalsykehuset på grunn av slapphet og lavgradig feber over et par måneder. Pasienten hadde kjent osteoporose, og hun var operert for feokromocytom noen år tidligere. Hun hadde kjente kompresjonsbrudd i columna, ribbensbrudd med dårlig tilheling og hadde nylig hatt et lårhalsbrudd.

Hun var mangeårig røyker med emfysem-utvikling i lungene, og hun hadde kjent hypotyreose og psoriasis. Det forelå psykiatrisk komorbiditet med anorexia nervosa gjennom 20 år. Hun veide 45 kg før innleggelsen.

Nevrofibromatose type 1 er en genetisk tilstand med autosomalt dominant arvegang. Over 240 mutasjoner er beskrevet i tumorsupressogenet *NFI*, hvor resultatet er svært nedsatt eller manglende produksjon av proteinet nevrofibromin (1). Klinisk kjennetegnes pasienter med nevrofibromatose av café-au-lait-flekker og godartede nerve- og bindevevssvulster, såkalte nevrofibromer. Det er ellers stor variasjonsbredde i kliniske uttrykk.

Pasientene har blant annet overhyppighet av maligne tumorer. Som hos vår pasient er både feokromocytom og osteoporose beskrevet i tilknytning til tilstanden (ramme 1) (2).

Før endelig diagnose ble stilt, var kvinnens innlagt i lokalsykehuset tre ganger over en periode på et halvt år. Under første innleggelse hadde hun en senkning på 101 mm (1–28 mm) og et CRP-nivå på 103 mg/l (0–5 mg/l). Utredningen ble rettet bredt mot infeksjonstilstand, malignitet og revmatisk sykdom. Alle mikrobiologiske prøver var negative. CT thorax/abdomen/bekken avdekket kun en upåfallende ovariecyste. Proteinelektroforese i urin og blod var normal. ANA var negativ og MPO-ANCA viste en grenseverdi på 4,9 IE/ml (0,0–5,0 IE/ml).

Under den andre innleggelsen hadde hun vedvarende forhøyede inflamasjonsprøver, med CRP-nivå 84–194 mg/l, senkning 86–104 mm og leukocytose med endring fra lett forhøyede monocyter til nøytrøfili. Hun

hadde mikrocytær hypokrom anemi med gradvis hemoglobinfall fra 10,5 g/100 ml til 7,7 g/100 ml (11,7–15,3 g/100 ml) i løpet av halvannen måned. Gjentatte hemofec-tester var positive på blod. I løpet av fire måneder gikk hun ned i vekt fra 45 kg til 39 kg.

Utredningen ble nå rettet spesielt mot inflamatoriske og maligne tilstander i fordøyelsessystemet. Samtidig ble spiseforstyrrelsen vurdert til å være en del av bildet, og hun ble henvist til psykiatrisk vurdering.

Gastroskop i viste et hiatushernie og tynnarmsbiopsier normale slimhinner. Det ble gjort ny CT thorax/abdomen/bekken, som ikke forklarte sykdomsbildet.

Pasienten ble etter ny negativ utredning utskrevet til korttidsplass i sykehjem samt til psykiatrisk vurdering med tanke på hennes anorexia nervosa.

Ved ny gransking av CT thorax i arteriefase i ettertid så man at det allerede ved dette tidspunktet forelå noen ørsmå aneurismes. Det er ikke å forvente at så små forandringer blir oppdaget på en generell screeningundersøkelse.

Fra sitt hjem ble hun innlagt for tredje gang på et halvt år, nå med abdominale smertyper og akutt fall i hemoglobinnivå til 6,1 g/100 ml. CT-arteriografi av abdomen viste blødning fra en gren utgående fra a. mesenterica superior. Videre fant man multiple karaneurismes/pseudoaneurismes i tarmkrøs, rundt ventrikelen, i leveren, i nyrene og i interkostalarterier, tolket av radiolog som polyarteritis nodosa eller aneurismer forårsaket av septiske embolier. Hun var begynnende sirkulatorisk ustabil med takykardi og blodtrykksfall og fikk transfusjoner med både erytrocyttkonsentrat og plasma.

Pasienten ble overført til gastrokirurgisk avdeling ved regionsykehus, der hun ble hasteoperert med reseksjon av 40 cm tynnarm. Biopsi fra resektatet viste abscess og hematom. Det var sirkulasjonsforstyrrelser med varierende grad av trombosering med

Arne Kildahl-Andersen

kildahla@yahoo.no
Lungeavdelingen
St. Olavs hospital

Marie Thoresen

Lungeavdelingen
St. Olavs hospital

Ruth Stoklund Thomsen

Revmatologisk avdeling
St. Olavs hospital

Asbjørn Ødegård

Klinikks for bildediagnostikk
St. Olavs hospital

RAMME 1

Manifestasjoner ved nevrofibromatose type 1
(2). Kjente funn og assosierede tilstander hos pasienten er markert med stjerne

Hud

Café-au-lait-flekker*

Fregner*

Fibromer* (nodulære fibromer, dermale/pleksiforme nevrofibromer)

Glomustumor

Sentralnervesystem

Ulike kognitive problemer*

Økt tendens til tretthet*

Epilepsi

Øye

Lisch-knuter

Opticusgliom

Skjelett

Osteoporose*

Skoliose* og pseudartrose

Andre assosierede tilstander

Hypertensjon

Vaskulopatier

Interstittiel og bulløs lungesykdom

Generelt økt kreftrisiko

Ondartede bindevevssvulster

Feokromocytom*

RAMME 2

Differensialdiagnoser til polyarteritis nodosa (3)

Infeksjonstilstander

Endokarditt/andre sykdommer med bakteriemi

Mykotisk aneurisme med distal embolisering

Virusinfeksjoner (hepatitt B, hepatitt C, hiv)

Andre tilstander som kan ligne en vaskulitt (mediumkars-)

Aterosklerose

Embolisk sykdom (myksomer, kolesterol-emboli)

Trombotiske tilstander (antifosfolipid-syndrom)

Fibromuskulær dysplasi

Strålefibrose

Ergotisme

Nevrofibromatose

Primær amyloidose

Andre sjeldne tilstander

ANCA-assosierede vaskulitter

Granulomatose med polyangiitt (tidligere Wegeners syndrom)

Mikroskopisk polyangiitt

Eosinofil granulomatose med polyangiitt (tidligere Churg-Strauss-syndrom)

Andre vaskulitter

Henoch-Schönleins purpura (IgA-vaskulitt)

Vaskulitt med kryoglobulinemi

Medikamentindusert vaskulitt

Vaskulitt sekundært til bindevevssykdom

sannsynligvis sekundære betennelsesforandringer, men det var ikke mulig å bekrefte eller avkrefte vaskulitt. Det ble beskrevet betydelige reaktive arrforandringer i kar-veggene. Dyrkningsprøver tatt peroperativt var negative på bakterier og sopp.

Hun var stabil, men i fortsatt nedsatt allmenntilstand da hun ble ført tilbake til lokalsykehuset i påvente av overnevnte biopsi- og dyrkingssvar, med planer for videre utredning ved revmatolog.

Det finnes mange differensialdiagnoser til vaskulitt og polyarteritis nodosa (ramme 2) (3). Infeksjoner vil kunne gi forandringer som ved vaskulitt eller forandringer som minner om dette. Her var gjentatte blodkulturner og peroperative dyrkningsprøver negative. Infeksjoner med hepatitt B- eller hepatitt C-virus eller parvovirus vil kunne gi et slikt bilde med polyarteritis nodosa. Tromboemboliske tilstander som antifosfolipid-syndrom med arterielle og venøse tromber vil kunne ligne en vaskulitt (3).

Vaskulopatier hos pasienter med nevrofibromatose er beskrevet i en rekke kasuistikkene. Dette innebefatter aneurismer, stenosar og arteriovenøse malformasjoner. En retrospektiv studie fra 2007 viste at aorta, nyrearterier og mesenteriale arterier synes å være hyppigst affisert (4). I de publiserte kasuistikkene omtales som regel affeksjon av enkelte eller få blodkar. Affeksjon av interkostalarterier blir ofte omtalt i flere artikler (5, 6).

To uker etter operasjonen fikk pasienten en ny blødning, nå fra en interkostalarterie med stor hematombildning baktil over høyre thoraxhalvdel (fig 1). Kvinnen var takykard, slapp og medtatt. Hun var transfusjonstrengende, men blodtrykksmessig stabil. Pasienten ble på nytt overført til regionsykehus.

Angiografi viste aneurismer på 8. og 9. interkostalarterie på høyre side, og disse ble vellykket coilbehandlet (fig 2). Tre dager etter coilbehandlinga og omtrent to uker etter tynntarmsreseksjonen ble pasienten laparotomert på grunn av høyfebrilia og mis-

tanke om tarmiskemi. Det var imidlertid ikke tegn til iskemi ved peroperativ inspeksjon.

Gastrokirurgene ønsket overflytting til revmatologisk avdeling, og pasienten ble overført til lungemedisinsk avdeling i påvente av dette. Valg av lungeavdelingen som oppholdssted var tilfeldig.

Det ble fra revmatologisk hold stilt spørsmål om aneurismedanningene kunne komme av vaskulopati ved nevrofibromatose.

I rekonvalesensperioden etter den andre tarmoperasjonen fikk kvinnen på nytt en stor blødning, denne gang fra den høyre nyren. På CT-arteriografi fant man blødning subkapsulaert, inferiort mot høyre fossa iliaca og høyre flanke. Hun ble tilsett av urolog, som konkluderte med konservativ behandling i form av blodtransfusjon.

Dagen før blødningen var pasienten blitt høyfebril, med produktiv hoste og svært nedsatt allmenntilstand, men hun var ikke intensivtrengende. Det var startet med meropenem mot mulig nosokomial pneumoni. Dyrkning på bakterier og sopp var fortsatt negativ. Revmatologiske prøver viste nå MPO-ANCA på 140 IE/ml (0,0–5,0 IE/ml). For øvrig var det negativt resultat av serologisk prøve for hepatitt B og hepatitt C og negativ lupusantikoagulant. I urinen hadde pasienten hyaline sylinder med celleinklusioner og korneide sylinder. Urinstiks viste 3+ og 4+ på henholdsvis proteiner og erytrocetter.

Det var klar mistanke om vaskulitt med bildefunn som ved polyarteritis nodosa, men også med urinfunn som kunne tyde på glomerulonefritt og en ANCA-assosiert vaskulitt. Nefrolog foreslo nyrebiopsi, men da pasienten allerede hadde blodd fra høyre nyre, var det ikke tilrådelig med biopsi fra den venstre.

Pasienten var sengliggende og i svært nedsatt allmenntilstand. CRP-nivået steg under antibiotikabehandling, og det var ikke mulig med ytterligere vaskulittdiagnostikk.

På vital indikasjon og etter drøfting med revmatolog ble det igangsatt høydosebehandling med steroider (Solu-Medrol 500 mg daglig over tre dager) og videre behandling med prednisolon 20 mg daglig, det tilsvarte 0,5 mg/kg. Senkningen var på det tidspunktet > 140 mm og CRP-nivået var steget til 318 mg/l. Fire dager ut i behandlingen var allmenntilstanden bedre. Pasienten var afebril, senkning og CRP-nivå var henholdsvis 18 mm og 34 mg/l.

Etter initial behandling med steroider fikk hun cyklofosfamid intravenøst hver tredje uke og prednisolon, der dosen ble trappet ned til 10 mg daglig. Hun utviklet høyt blod-

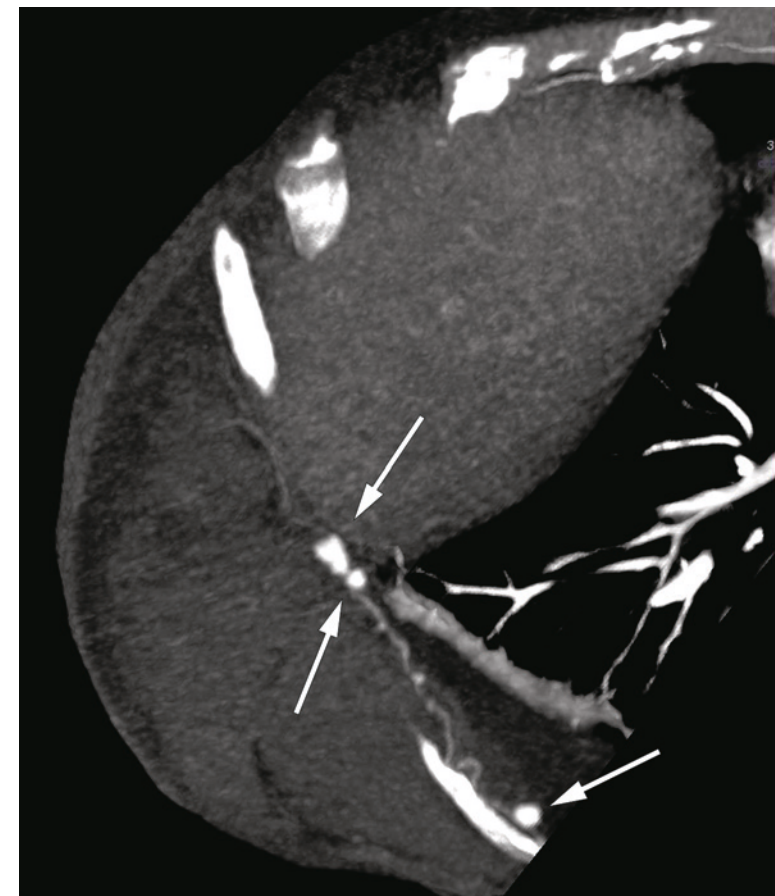
trykk (160–175/90–105 mm Hg) i forløpet, og det ble tidlig startet opp med amlodipin 5 mg og kandesartan 8 mg. Blodtrykket lot seg behandle med dette, og proteinurien gikk tilbake.

Pasienten, som hadde vært helt sengelig-gende og i dårlig allmenntilstand, ble oppgående på avdelingen i løpet av et par uker. Hun ble utskrevet til videre rehabilitering og oppfølging ved revmatologisk poliklinikk for videre behandling med cyklofosfamid. Etter et halvt år hadde hun gått opp 11 kg, og ny CT thorax/abdomen/bekken var uten tegn til aktiv vaskulitt.

Diskusjon

Pasienten hadde bildefunn forenlig med polyarteritis nodosa. Dette er en sjeldent forekommende tilstand, med estimert årlig insidens på 4,4 til 9,7 per million (7). Sykdommens etiologi er ikke sikkert kjent. Den er kjennetegnet av affeksjon av mellomstore arterier, hvor arterioler, kapillærer og vene spares. Alle organer kan i praksis affiseres. Pasientene kan ved nyreaffeksjon ha moderat hematuri og proteinuri, men tilstanden gir ikke røde cellesyndre og glomerulonefritt. Nodosa henspiller på danningen av aneurismer, som kan palperes som knuter over blodkarene.

Som regel blir diagnosen stilt ut fra biopsi med funn av transmural nekrotiserende inflamasjon i mellomstore arterier. Alternativet til biopsi er typiske angiografifunn av multiple aneurismer og stenosar. CT- og MR-undersøkelse har i stor grad erstattet konvensjonell angiografi, og CT thorax/abdomen av vår pasient viste multiple karaneurismer og pseudoaneurismer i tarmkrøs, rundt ventrikkel, i lever, nyrer og interkostalarterier. Hun fikk standard behandling for tilstanden med steroider og cyklofosfamid,



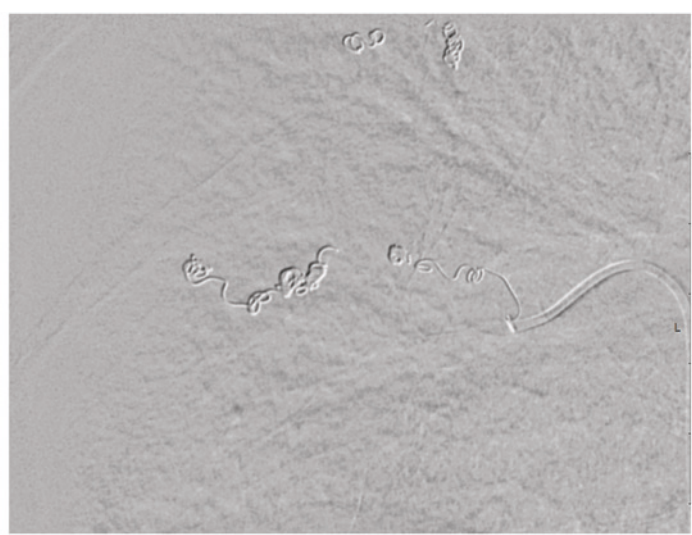
Figur 1 CT-fremstilling av 9. interkostalarterie på høyre side med flere aneurismer og blødning i thoraxveggen. Aneurismene er markert med hvite piler

Pasienten hadde også funn som kunne tale imot denne diagnosene. Hun hadde positiv MPO-ANCA, noe som ikke passer med polyarteritis nodosa. ANCA-assoserte vasculitter regnes å omfatte granulomatose med

polyangiitt (tidligere Wegeners granulomatose), Churg-Strauss-vaskulitt, mikroskopisk polyangiitt og nyrebegrensende vaskulitt. MPO-ANCA er imidlertid uspesifik og har vært beskrevet som positiv ved en rekke



a



b

Figur 2 Endovaskulær intervasjon med coiling. 8. interkostalarterie er alt behandlet. De største aneurismene er markert med svarte piler. a) Med åpen 9. interkostalarterie. b) Etter behandling med coiling

inflammatoriske tilstander. Vår pasient hadde tegn på glomerulonefritt med hematuri, proteinuri og sylinder med celleinklusioner; funn som kunne trekke mer i retning av mikroskopisk polyangiitt, der MPO-ANCA er positiv hos over halvparten. Samtidig er det beskrevet vaskulittformer der positiv MPO-ANCA er funnet hos pasienter med kliniske funn mest forenlig med polyarteritis nodosa (8, 9).

Klassifiseringen av vaskulitter har vært gjenstand for mye debatt, da kriteriene har vært overlappende og motsigelsesfulle. Kriteriene til American College of Rheumatology (ACR) fra 1990 inkluderte verken mikroskopisk polyangiitt eller diagnostikk med vekt på ANCA, som den gang ikke var i utbredt bruk.

Ved Chapel Hill Consensus Conference (CHCC) i 1994 ble vaskulittene definert ut fra størrelsene på de affiserte blodkarene. Man anerkjente at histologiske funn ikke alltid foreligger, slik at man vil måtte støtte seg til surrogatmarkører for den enkelte vaskulittsykdom. CHCC-definisjonene ble oppdatert i 2012 (10). Det presiseres at en vaskulitt i mellomstore eller store blodkar også kan affisere små arterier. Motsatt kan en typisk småkarsvaskulitt som mikroskopisk polyangiitt også affisere mellomstore arterier. Nytt fra 2012 er at man implementerer gruppen ANCA-assosierede vaskulitter.

I 2007 kom det forslag på surrogatmarkører og bruk av ANCA i en algoritme –EMA-algoritmen (The European Medicines Agency) – i den hensikt å klassifisere ANCA-assosierede vaskulitter og polyarteritis nodosa (11). Ennå er ikke klassifisering av ANCA-assosierede vaskulitter validert, derfor er dette kontroversielt.

Dessverre lot det seg ikke gjøre å få nyrebiopsi av vår pasient, fordi hun nylig hadde hatt blødning fra høyre nyre. Med utgangspunkt i EMA-algoritmen for klassifisering av ANCA-assosierede vaskulitter står man uten biopsi, men har positiv MPO-ANCA og surrogatmarkører med urinfunn som kornede sylinder, hyaline sylinder med celleinklusioner, proteinuri og hematuri. Dette skulle tale for en glomerulonefritt og en mikroskopisk polyangiitt. Men selv da hun var på sitt sykste så vi ingen kreatininstigning, noe man kanskje ville forventet ved en eventuell nekrotiserende glomerulonefritt. Sett i sammenheng med at pasienten blødde fra den ene nyren, var heller ikke urinfunnene så spesifikke. Distribusjonen av affiserte blodkar var klinisk som man kunne forvente ved polyarteritis nodosa, som var diagnosen hun fikk. Behandlingen er i utgangspunktet den samme ved disse to diagnosene, som tidligere ble klassifisert som én.

Selv om det er uvanlig, er affeksjon av interkostalarterier beskrevet tidligere i sammenheng med polyarteritis nodosa (12, 13).

Karskade med aneurismedanning i interkostalarterier er som nevnt tidligere beskrevet hos nevrotfibromatosepasienter. Hvorfor pasienter med nevrotfibromatose utvikler forandringer i blodkarene med aneurisme-danning, er ikke fullt ut forstått.

Modeller med heterozygote *NF1*-mutasjoner hos mus har vist økt vaskulær inflammasjon i skadde kar sammenliknet med kar hos genetisk normale mus (14). Genproduktet nevrotfibromin virker hemmende på inflammasjon, intimaproliferasjon og til sist aneurismedanning. Hos pasienter med nevrotfibromatose kan man tenke seg at enhver skade på blodkar gir en kraftigere inflammasjon og raskere utvikling av aneurismer med eventuelt ruptur sammenliknet med det som skjer hos friske. En vaskulitt vil kunne representere en slik karskade.

Oppsummering

Utredning av vaskulitter kan være utfordrende – både med tanke på differensialdiagnoser og endelig typebestemmelse av dem. Vi har beskrevet en pasient med kjent nevrotfibromatose som ble behandlet for vaskulitt. Utredningen tok tid, og pasienten hadde flere alvorlige blødninger, med behov for transfusjon og kirurgiske inngrep, før diagnosen ble satt. Allmenntilstanden ble gradvis svekket inntil hun var helt sengeliggende. CT-undersøkelse avdekket multiple aneurimer, og hun blødde fra tre av disse, beliggende i mesenteriet, interkostalarterier og nyrearterier.

Karaneurimer er beskrevet ved nevrotfibromatose, men ikke i en slik utstrekning og med så rask utvikling. Det kan likevel ikke utelukkes at pasientens nevrotfibromatose har hatt noe å si for distribusjonen av affiserte kar og sykdomsprogresjonen. Bildemessig var hennes vaskulitt mest forenlig med polyarteritis nodosa. Hun hadde samtidig tegn på glomerulonefritt, med positiv MPO-ANCA, som man kan se ved mikroskopisk polyangiitt. Kombinasjonen er svært sjeldent. Patogenesen for hver tilstand sett hver for seg er ikke fullt ut kartlagt, heller ikke mekanismen for hvordan de påvirker hverandre hos en og samme pasient.

Pasienten ble raskt mye bedre etter behandlingen med Solu-Medrol, og nå, ett år etter, er hun fortsatt oppegående og i god allmenntilstand.

Pasienten har gitt samtykke til at artikkelen blir publisert.

Arne Kildahl-Andersen (f. 1976)

er lege i spesialisering i lungemedisin.
Forfatter har fylt ut ICMJE-skjemaet og oppgir ingen interessekonflikter.

Marie Thoresen (f. 1979)

er konstituert overlege i lungemedisin.
Forfatter har fylt ut ICMJE-skjemaet og oppgir ingen interessekonflikter.

Ruth Stoklund Thomsen (f. 1967)

er overlege i revmatologi.
Forfatter har fylt ut ICMJE-skjemaet og oppgir ingen interessekonflikter.

Asbjørn Ødegård (f. 1961)

er overlege i radiologi.
Forfatter har fylt ut ICMJE-skjemaet og oppgir ingen interessekonflikter.

Litteratur

1. Rasmussen SA, Friedman JM. NF1 gene and neurofibromatosis 1. Am J Epidemiol 2000; 151: 33–40.
2. Gutmann DH, Aylsworth A, Carey JC et al. The diagnostic evaluation and multidisciplinary management of neurofibromatosis 1 and neurofibromatosis 2. JAMA 1997; 278: 51–7.
3. Staud R, Yancey WB Jr, Williams RC Jr. «Vasculitis look-alike» clinical syndromes. J Clin Rheumatol 1996; 2: 203–8.
4. Oderich GS, Sullivan TM, Bower TC et al. Vascular abnormalities in patients with neurofibromatosis syndrome type I: clinical spectrum, management, and results. J Vasc Surg 2007; 46: 475–84.
5. Misao T, Yoshikawa T, Aoe M et al. Recurrent rupture of intercostal artery aneurysms in neurofibromatosis type 1. Gen Thorac Cardiovasc Surg 2012; 60: 179–82.
6. Arai K, Sanada J, Kurozumi A et al. Spontaneous hemothorax in neurofibromatosis treated with percutaneous embolization. Cardiovasc Interv Radiol 2007; 30: 477–9.
7. Watts RA, Lane SE, Scott DG et al. Epidemiology of vasculitis in Europe. Ann Rheum Dis 2001; 60: 1156–7.
8. Tanaka M, Matsuo K, Nakamura H et al. Two cases of classical polyarteritis nodosa associated with MPO-ANCA. Nihon Jinzo Gakkai Shi 2006; 48: 371–6.
9. Yokoi Y, Nakamura I, Kaneko T et al. Pancreatic mass as an initial manifestation of polyarteritis nodosa: a case report and review of the literature. World J Gastroenterol 2015; 21: 1014–9.
10. Jennette JC, Falk RJ, Bacon PA et al. 2012 revised International Chapel Hill Consensus Conference Nomenclature of Vasculitides. Arthritis Rheum 2013; 65: 1–11.
11. Watts R, Lane S, Hanslik T et al. Development and validation of a consensus methodology for the classification of the ANCA-associated vasculitides and polyarteritis nodosa for epidemiological studies. Ann Rheum Dis 2007; 66: 222–7.
12. Koçak H, Cakar N, Hekimoglu B et al. The coexistence of familial Mediterranean fever and polyarteritis nodosa: report of a case. Pediatr Nephrol 1996; 10: 631–3.
13. Fisher RG, Graham DY, Granmayeh M et al. Polyarteritis nodosa and hepatitis-B surface antigen: role of angiography in diagnosis. AJR Am J Roentgenol 1977; 129: 77–81.
14. Lasater EA, Li F, Bessler WK et al. Genetic and cellular evidence of vascular inflammation in nevrotfibromin-deficient mice and humans. J Clin Invest 2010; 120: 859–70.

Mottatt 6.7.2015, første revisjon innsendt 14.4.2016, godkjent 8.7.2016. Redaktør: Liv-Ellen Vangsnes.